

# 碎波による再曝気 —plunging型碎波の再曝気効果に関する研究—

徳島大学工業短期大学部 正会員 村上 仁士

徳島大学工業短期大学部 正会員 細井 由彦

徳島大学大学院 ○学生員 大東 正男

1. まえがき 水中の溶解酸素は有機物の分解において欠かせないものであり、水質改善に大きく寄与する。溶解酸素の補給は、空気中の酸素が水面から乱れによって取り入れられるのが支配的であるため、碎波帯における再ばつ気効果はさりげなく大きいと考えられる。本研究ではplunging型碎波を対象として、碎波により再ばつ気がどのよう影響を受けるのかを明らかにするとともに、再ばつ気係数を碎波特性量を用いて表現することを試みた。

2. 実験方法 実験には、長さ14m、幅0.5m、深さ0.75m、の片面がラス張りの一次元造波水槽を用い、水槽の一端に長さ5mの1/10の勾配をもつ傾斜面を設け、ここでplunging型碎波を発生させた。再ばつ気係数は碎波帯内の20点で採水した後、溶解酸素分析計を用いて溶解酸素濃度を測定し求めた。実験諸元は、水深りが40cm、周期Tは1.02sec、碎波形勾配H<sub>o</sub>/L<sub>o</sub>は0.014～0.060である。

3. 実験結果および考察 水中の溶解酸素濃度Cは酸素移動係数K<sub>L</sub>を用いると次のように表わされる。

$$dC/dt = K_L \cdot A/V (C_s - C) \quad (1)$$

ここにA: 気液接觸界面積、V: ばつ気が行はれていたる体積、C<sub>s</sub>: 鮑和溶解酸素濃度である。碎波後の乱れは気泡を伴なつているためAは明確ではないので、再ばつ気係数K<sub>L</sub>を用いて統括的に表わすと

$$dC/dt = K_L \cdot A/V (C_s - C) \quad (2)$$

式(1)(2)より危とK<sub>L</sub>との関係は

$$\dot{\Delta} = K_L \cdot A/V \quad (3)$$

となる。K<sub>L</sub>については村上の式を用いると

$$K_L = C' (\rho D_H / \sigma)^{1/2} \cdot (\nu E)^{3/8} \quad (4)$$

と表わされる。ここにC': 定数、ρ: 水の密度、D<sub>H</sub>: 酸素分子拡散係数、σ: 水の表面張力、ν: 水の動粘性係数、E: 単位質量当りのエネルギー遮散量である。式(3)(4)より危は

$$\dot{\Delta} = C' \cdot A/V \cdot (\rho D_H / \sigma)^{1/2} \cdot (\nu E)^{3/8} \quad (5)$$

となる。Eについては、碎波帯におけるエネルギー遮散は水粒子の乱れた運動によるものが支配的であるが、その運動が複雑で測定が困難なため図-1に示すようにマフロに取り扱う。

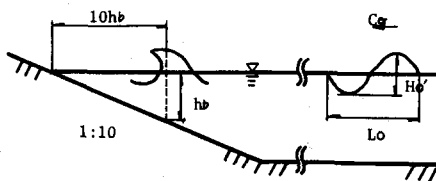


図-1 碎波帯への入射エネルギー

沖波において単位面積当り水面から水底までの水柱のまつ波のエネルギーは、波高を H<sub>o</sub>' とすれば  $1/8 \cdot \rho g H_o'^{12}$  であるから底面摩擦によるエネルギー損失を無視すれば、群速度を C<sub>G</sub> として単位時間当り碎波帯に入射するエネルギーは、 $1/8 \cdot \rho g H_o'^{12} \cdot B \cdot C_G$  (6)

となる。ここに g: 重力加速度、B: 水路幅である。C<sub>G</sub> は深水波の場合、波速を C とすれば  $C_G = 0.5C$  と表わされる。碎波帯の体積は勾配が 1/10 であることを考慮して碎波水深 H<sub>b</sub> を用いて  $5B H_b^2$  と表わす。したがって碎波帯における単位質量当りのエネルギー遮散量は、式(6)を碎波帯体積で割り、 $C_G = 0.5C = 0.5(L_o/T)$  とおけば

$$E = 8/80 \cdot L_o/T \cdot (H_o'/A_b)^2 \quad (7)$$

となる。ここに L<sub>o</sub>: 沖波波長、T: 周期である。式(7)を式(5)に代入すれば危は次のようになる。

$$\dot{\Delta} = C' \cdot A/V \cdot (\rho D_H / \sigma)^{1/2} \cdot (L_o/T)^{3/2} \cdot (H_o'/A_b)^{3/4} \quad (8)$$

式(8)において、第1段階として A/V を含めて C'' と表わし水面からの酸素移動のみを考慮すると

$$\dot{\Delta} = C'' \cdot (\rho D_H / \sigma)^{1/2} \cdot (L_o/T)^{3/2} \cdot (H_o'/A_b)^{3/4} \quad (9)$$

となる。 $L_o/T =$  一定の場合、再ばつ気係数は  $(H_o'/A_b)^{3/4}$  に比例するから、再ばつ気係数の実測値を用いて  $H_o'/A_b$  との関係を図示すると圖-2のようになる。同図より再ばつ気係数と  $H_o'/A_b$  との間の傾きを求めるヒークとなる。式(9)で示される傾きは 0.75 であるから、再ばつ気係数に及ぼ

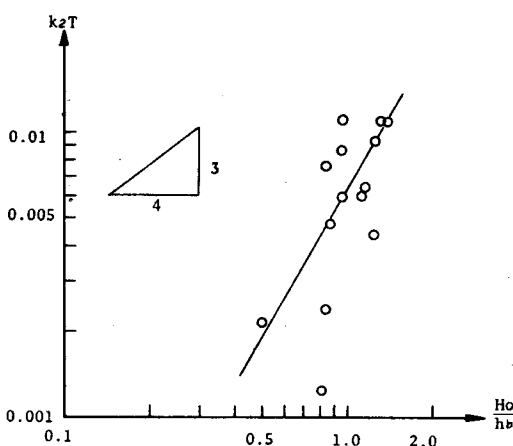


図2  $k_2 T$  と  $H_0/h_b$  の関係

す  $H_0/h_b$  の影響は理論値よりもかなり大きいことになる。その理由として水表面からの酸素移動のみを考え、気泡の存在による気液接触界面積の増加を考慮していなかったと考えられる。そこで進行気泡による界面の増加率  $C_A$  を用いて  $\kappa_2$  を表わすと

$$\kappa_2 \propto C_A (PD_m/\sigma)^{1/2} (Dg/g_0)^{3/2} (L/T)^{3/2} (H_0/h_b)^{3/4} \quad (10)$$

となる。  $C_A$  は静水時の界面積  $A_0$  と進行気泡量  $G_0$  を用いて  $C_A = 1 + G_0/A_0$ 。  
(11)

と表わされる。  $G_0$  については次のように考えた。

plunging breaker の場合、碎波後 horizontal roller の形成が行なわれ、これによって気泡が水中に進行されることで進行気泡量は roller の体積に関係すると考えられる。 roller

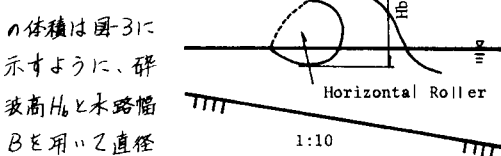


図3 horizontal roller  
すると考えると

$$\pi/4 \cdot H_0^2 \cdot B = \pi/4 \alpha^2 h_b^2 \cdot B \quad (12)$$

ここに  $\alpha = H_0/h_b$  : 距離高比である。

水中に存在する気泡数は、式(12)を気泡1個当たりの体積  $\pi d^3/6$  (ここで  $d$ : 気泡径) で割ると  $3B\alpha^2 h_b^2 / 2d^3$  となる。したがって進行気泡量  $G_0$  は、気泡1個当たりの表面積  $\pi d^2$  に気泡数をかけると

$$G_0 = 3\pi B\alpha^2 h_b^2 / 2d \quad (13)$$

となる。  $A_0$  は斜面の勾配が  $1/10$  であることから  $A_0 = 10h_b B$  となる。したがって  $C_A$  は式(10)(13)より

$$C_A = 1 + \frac{3\pi}{20} \frac{\alpha^2}{d} h_b \quad (14)$$

となる。式(14)を式(10)に代入すると危は

$$\kappa_2 \propto (1 + \frac{3\pi}{20} \frac{\alpha^2}{d} h_b) (\frac{PD_m}{\sigma})^{1/2} (\frac{Dg}{g_0})^{3/2} (\frac{L}{T})^{3/2} (\frac{H_0}{h_b})^{3/4} \quad (15)$$

となる。式(15)の右辺第1項において気泡径  $d$  のオーダーをミリと見て、 $1 \ll \frac{3\pi}{20} \frac{\alpha^2}{d} h_b$  とすれば

$$\frac{\alpha^2}{(H_0/h_b)^{3/4}} \propto \frac{3\pi}{10d} \alpha^2 h_b \quad (16)$$

と変形される。  $d$  を一定とみなし  $\kappa_2$  の実測値を用いて  $\kappa_2/(H_0/h_b)^{3/4}$  を縦軸に、  $\alpha^2 h_b$  を横軸にとりプロットしたもののが図4である。同図より  $\alpha^2 h_b$  の増加に伴って、

$\kappa_2/(H_0/h_b)^{3/4}$  が増加する傾向がみられる。したがって進行気泡による界面増加によって再び気泡数は増加されると考えられる。

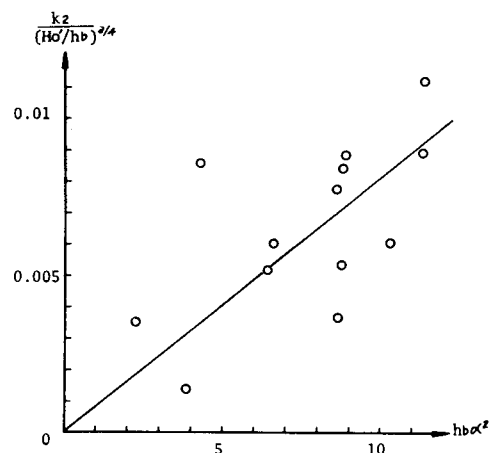


図4  $\kappa_2 / (H_0/h_b)^{3/4}$  と  $\alpha^2 h_b$  の関係

4. あとがき 以上本研究では、再び気泡数と碎波特性量との関係について考察を行なったが、定量化するまでには至らなかった。今後、水表面近傍の乱れおよび気泡径を直接測定していく必要があると思われる。さらに Spilling breaker の場合についても検討を進めていく予定である。

#### <参考文献>

- 1) 村上健: 河川における再曝気, 第16回衛生工学討論会講演集, 1970